



การค้าบวนโครงสร้างพลังและค่าการดูดกลืนแสงของสารเพอร์ฟอสไกท์ชนิด $\text{CsRg}_x\text{Pb}_{1-x}\text{I}_3$



หัวหน้าโครงการ ดร. ดร.พรจัด ศรีพัชราภุรุ¹

¹สาขาวิชาฟิสิกส์ คณะวิทยาศาสตร์ มหาวิทยาลัยขอบเขต

²ภาควิชาฟิสิกส์ คณะวิทยาศาสตร์ มหาวิทยาลัยศรีนครินทรวิโรฒ

ผู้ร่วมวิจัย ดร. วิทยา อุณรคิจบำรุง¹

ดร. สมัคร พิบานแพpeg²

ดร. ปราโม บุลตระกูล¹

ผู้ช่วยวิจัยและนักศึกษา ฤทธิ์ พ้ายบุตร, นาคร โภวบัน, พญพิชญา ลุ่มสุข, แอนตันี, พรรณิว่า กำลังวรรณ

เป้าหมายโครงการ

งบประมาณ 779,800 บาท
ระยะเวลา ตุลาคม 2560 – กันยายน 2563

ผลกระทบ

การสร้างองค์ความรู้ใหม่ : ศึกษาและสร้างความเขื่อมโยงระหว่างผลการค้าบวนทางคอบนพื้นที่และผลการทดลองของสารเพอร์ฟอสไกท์ $\text{CH}_3\text{NH}_3\text{Pb}(\text{SCN})_{x}\text{I}_{3-x}$ และ $\text{CsPb}(\text{SCN})_x\text{Br}_{3-x}$ เพื่อให้เข้าใจพลังของการเจือ SCN^- ต่อการเปลี่ยนรูปแบบดับพลังงาน การดูดกลืนแสง และการนำไฟฟ้า ซึ่งจะช่วยให้เข้าใจพลังของการเปลี่ยนแปลงต่อประสิทธิภาพคลื่นแสงและนิวเคลียร์ฟอสไกท์ การประยุกต์ : เข้าใจสัดส่วนที่เหมาะสมของ SCN^- ในการเจือสาร $\text{CH}_3\text{NH}_3\text{PbI}_3$ และ CsPbBr_3 เพื่อสร้างเซลล์แสงอาทิตย์ที่มีประสิทธิภาพและมีความเสถียรสูง

องค์ความรู้ใหม่ ประยุกต์ใช้ผลการค้าบวนทางคอบนพื้นที่เพื่อปรับปรุงการคายไฟและกำกับดูแลของสารเพอร์ฟอสไกท์ และสร้างเซลล์แสงอาทิตย์ที่มีความเสถียรที่ดีขึ้น

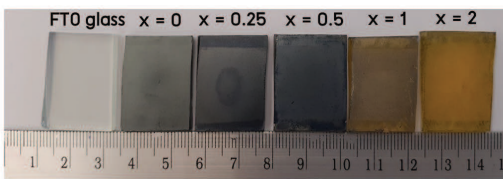
ผลผลิต

- 1 บันทึกผลการค้าบวนทางคอบนพื้นที่
- 2 บันทึกผลการคายไฟและกำกับดูแลของสารเพอร์ฟอสไกท์
- 3 บันทึกผลการคายไฟและกำกับดูแลของสารเพอร์ฟอสไกท์
- 4 บันทึกผลการคายไฟและกำกับดูแลของสารเพอร์ฟอสไกท์
- 5 บันทึกผลการคายไฟและกำกับดูแลของสารเพอร์ฟอสไกท์
- 6 บันทึกผลการคายไฟและกำกับดูแลของสารเพอร์ฟอสไกท์
- 7 บันทึกผลการคายไฟและกำกับดูแลของสารเพอร์ฟอสไกท์
- 8 บันทึกผลการคายไฟและกำกับดูแลของสารเพอร์ฟอสไกท์

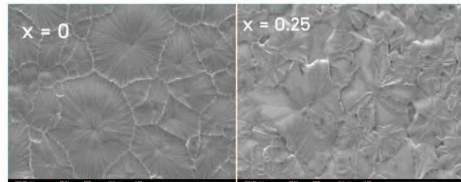
ผลการวิจัยนี้พบว่าการเจือสาร SCN^- เข้าไปในสารเพอร์ฟอสไกท์ $\text{CH}_3\text{NH}_3\text{PbI}_3$ หรือสาร CsPbBr_3 จะเปลี่ยนคุณสมบัติทางกายภาพและเก็บน้ำของสารทั้งสองนี้ โดยที่การเจือ SCN^- ใน $\text{CH}_3\text{NH}_3\text{PbI}_3$ จะได้สาร $\text{CH}_3\text{NH}_3\text{Pb}(\text{SCN})_{x}\text{I}_{3-x}$ ที่มีโครงสร้างแบบเตต拉ゴโนเลิลและสารจะเปลี่ยนจากเป็นสีเหลืองเข้มเพิ่มสีลวดของ SCN^- และผลการค้าบวนทางคอบนพื้นที่การเจือ SCN^- จะช่วยให้เกิดพื้นที่ไวไฟขนาดใหญ่กว่า MAPbI_3 และ SCN^- สำหรับการเจือสาร SCN^- ใน CsPbBr_3 จะได้สาร $\text{CsPb}(\text{SCN})_x\text{Br}_{3-x}$ ที่มีโครงสร้างแบบบอร์กอร์บีก และการเจือ SCN^- เกินกว่า $x=0.5$ จะเกิดฟลัปปลอนปน และผลการค้าบวน แสดงให้เห็นว่าการเจือสาร SCN^- ใน CsPbBr_3 จะยกระดับพลังงานแกะบ้านและเก็บเวลาจนต้องสูงขึ้น

ผลการดำเนินงาน

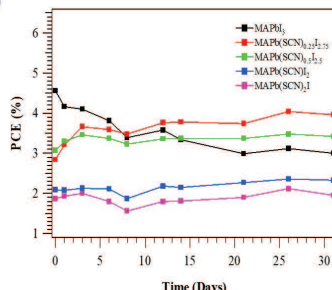
gapวิจัยเรื่องที่ 1 $\text{CH}_3\text{NH}_3\text{Pb}(\text{SCN})_{x}\text{I}_{3-x}$



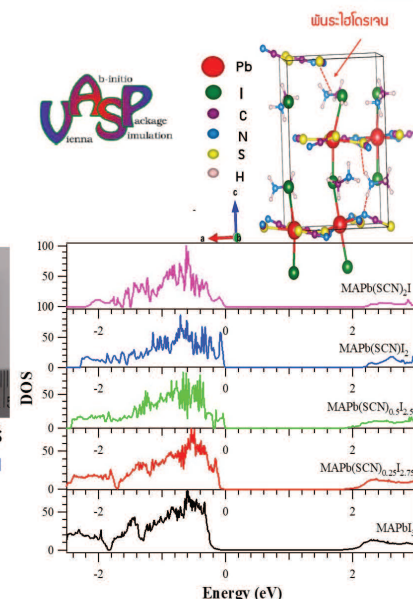
รูปถ่ายเดจิตอลของฟลัม $\text{CH}_3\text{NH}_3\text{Pb}(\text{SCN})_{x}\text{I}_{3-x}$ ที่เตรียมด้วยวิธี hot-casting จะเปลี่ยนจากสีดำไปเป็นสีเหลือง เมื่อเพิ่มสัดส่วน SCN^-



ภาพถ่ายจากกล้องอิเล็กทรอนิคส์ SEM ของฟลัม $\text{CH}_3\text{NH}_3\text{PbI}_3$ และ $\text{CH}_3\text{NH}_3\text{Pb}(\text{SCN})_{0.25}\text{I}_{2.75}$ จะเห็นว่าได้ฟลัมที่มีความต่อเนื่องบีกกรนขนาดใหญ่แต่พื้นฟลัมไม่เรียบ

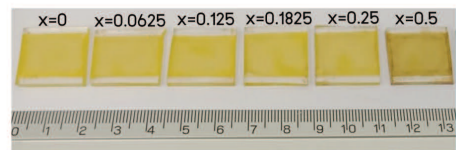


ความเสถียรของเซลล์แสงอาทิตย์บีกกรนเพอร์ฟอสไกท์ของฟลัม $\text{CH}_3\text{NH}_3\text{Pb}(\text{SCN})_{x}\text{I}_3$ เป็นเวลา 30 วัน การเพิ่ม SCN^- จะทำให้เซลล์มีความเสถียรที่ดีขึ้น

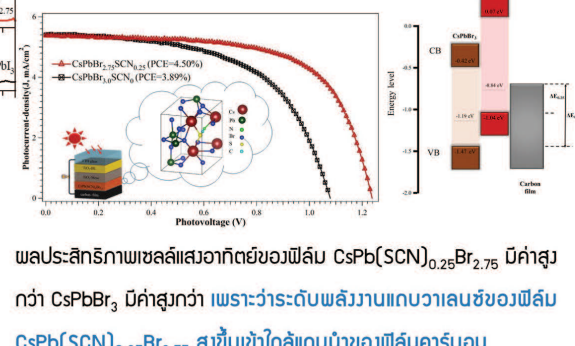


รูปโครงสร้างของ $\text{CH}_3\text{NH}_3\text{Pb}(\text{SCN})_{0.25}\text{I}_{2.75}$ และผลการค้าบวนความหนาแน่นสถานะของอิเล็กตรอน (DOS) แสดงให้เห็นว่าการเพิ่ม SCN^- จะเกิดพื้นที่ไวไฟขนาดใหญ่และช่องว่างแกบพลังงานบีกกรนที่มีค่าเพิ่มขึ้นเมื่อเพิ่ม SCN^-

gapวิจัยเรื่องที่ 2 $\text{CsPb}(\text{SCN})_x\text{Br}_{3-x}$



รูปถ่ายเดจิตอลของฟลัม $\text{CsPb}(\text{SCN})_x\text{Br}_{3-x}$ ที่เตรียมด้วยวิธี hot-casting จะเปลี่ยนจากสีเหลืองไปเป็นสีเหลืองผสมดำเมื่อเพิ่มสัดส่วน SCN^-



ผลประสึกการพชลคลื่นแสงของฟลัม $\text{CsPb}(\text{SCN})_{0.25}\text{Br}_{2.75}$ บีกกรนกว่า CsPbBr_3 บีกกรนกว่า ไฟร่าระดับพลังงานแกบเวลาและช่องว่างแกบพลังงานบีกกรนที่มีค่าเพิ่มขึ้นเมื่อเพิ่ม SCN^-

ผลงานวิจัย

1. Giant dielectric permittivity and electronic structure in $(\text{R}^{3+}, \text{Nb}^{5+})$ -co-doped TiO_2 ($\text{R} = \text{Al, Ga and In}$), *Ceramic International*, 43, S265–S269, (2017).
2. Enhanced specific capacitance of an electrophoretic deposited MnO_2 -carbon nanotube supercapacitor, *Journal of the Korean Physical Society*, 71, 997-1005 (2017).
3. Room temperature preparation of δ -phase $\text{CsSn}_{1-x}\text{Pb}_x\text{I}_3$ films for hole-transport in solid-state dye-sensitized solar cells, *Journal of Materials Science: Materials in Electronics*, 29, 7811-7819, (2018).
4. A comparative study of MnO_2 and composite MnO_2-Ag nanostructures prepared by a hydrothermal technique on supercapacitor applications, *Journal of Materials Science: Materials in Electronics*, 29, 9406-9417 (2018).
5. Effect of Fe^{3+} -doped $\text{Ca}_{12}\text{Al}_4\text{O}_{33}$ cement on optical and thermal properties, *Chinese Journal of Physics*, 56, 252-260 (2018).
6. DFT calculation and experimental study on structural, optical and magnetic properties of Co-doped SrTiO_3 , *Applied Surface Science*, 446, 92-113 (2018).
7. Enhanced thermoelectric properties of N-doped ZnO and SrTiO_3 : A first-principles study, *Applied Surface Science*, 446, 47-58 (2018).
8. Calculation and fabrication of $\text{CH}_3\text{NH}_3\text{Pb}(\text{SCN})_{x}\text{I}_{3-x}$ perovskite film as a light-absorber in carbon-based hole-transport-layer-free perovskite solar cells, *SN applied Science*, Under review
9. Influence of an SCN^- moiety on the electronic properties of $\gamma\text{-CsPb}(\text{SCN})_x\text{Br}_{3-x}$ and the performance of carbon-based HTL-free $\gamma\text{-CsPb}(\text{SCN})_x\text{Br}_{3-x}$ perovskite solar cells, *Applied Surface Science*, Under review

โปสเตอร์สรุปโครงการวิจัย 2560

การประชุมคุณย์ความเป็นเลิศด้านฟิสิกส์ ประจำปี 2563

ณ โรงแรม เดอะ สุโขทัย กรุงเทพมหานคร วันที่ 28 สิงหาคม พ.ศ. 2563

